



## بررسی سنگنگاری پاراگنیس‌های شمال شرق گلپایگان: میگماتیتی شدن و شواهد دگرگونی پسروند

مهین هاشمی<sup>۱</sup>، ناهید شبانیان بروجنی<sup>\*۲</sup>، علیرضا داوودیان دهکردی<sup>۱</sup>، حسین عزیزی<sup>۲</sup>

۱- دانشکده منابع طبیعی و علوم زمین، دانشگاه شهرکرد

۲- گروه معدن، دانشکده فنی و مهندسی، دانشگاه کردستان

(دریافت مقاله: ۹۷/۱/۲۷، نسخه نهایی: ۹۷/۴/۲۶)

**چکیده:** سنگ‌های دگرگونی واحد یکه چاه در شمال شرق گلپایگان، بخشی از پهنه ساختاری سنتدج-سیرجان هستند. این واحد شامل سنگ‌های دگرگونی درجه بالا و میلیونیتی بوده که بیشتر از بیوتیت گنیس، بیوتیت گارنت گنیس، آمفیبولیت و ارتوگنیس تشکیل شده است. بیوتیت گنیس و بیوتیت گارنت گنیس‌ها میگماتیتی شده‌اند. ساختارهای لایه‌ای، پتیگماتیتی، چین خورده، چشمی، شبکه‌ای و لکه‌ای در این میگماتیت‌ها به چشم می‌خورند. لوکوسوم‌ها از نوع لوکوسوم‌های در خاستگاه و رگه‌ای هستند. با توجه به نوع ساختار لوکوسوم‌ها و برخی از ریزساختارهای آذرین حفظ شده در آنها، فرآیند غالب تولیدکننده این میگماتیت‌ها ذوب‌بخشی بوده است. ماکل دوقلوئی ساده در فلدسپار پاتاسیم لوکوسوم، بیوتیت خورده شده، حضور مذاب، منطقه‌بندی در بعضی از پلازیوکلазهای بافت سیمپلکتیت در لوکوسوم و مزووسوم، مسکویتی‌شدن برخی از کانی‌ها، تعدادی از شواهد مهم ذوب‌بخشی در این میگماتیت‌ها هستند. با توجه به حضور لوکوسوم‌ها و پدیده میگماتیتی‌شدن، سنگ‌های منطقه مورد بررسی دچار یک مرحله افزایش دما تا رسیدن به ذوب بخشی شده‌اند و سپس دگرگونی پسروند را طی سردشدن پشت سر گذاشته‌اند. شواهد دگرگونی پسروند در این نمونه‌ها شامل تبدیل روتیل به اسفن و ایلمنیت، بافت سیمپلکتیت (کوارتز + پلازیوکلاز)، گارنت آتولی، تجزیه گارنت به کوارتز و کلریت است.

**واژه‌های کلیدی:** سنگنگاری؛ پاراگنیس؛ میگماتیتی‌شدن؛ دگرگونی پسروند؛ شمال شرق گلپایگان.

می‌شود. از نظر زایشی تشکیل میگماتیت‌ها را به چهار فرآیند کلی نسبت می‌دهند که عبارتند از جدایش دگرگونی در دمای زیرخط انجاماد [۵]، دگرنهادی در شرایط زیرخط انجاماد یا فرالنجاماد [۶]، تزریق ماقمای خارجی به داخل سطوح ضعیف مانند برگوارگی [۷] و ذوب‌بخشی یا ذوب ناقص [۸، ۹].

در این پژوهش ضمن بررسی سنگنگاری پاراگنیس‌ها و سنگ‌های وابسته به آن‌ها (گنیس میگماتیتی، رگه‌های پگماتیتی و کوارتزیت‌ها) و سازوکار تشکیل لوکوسوم و ملانوسوم نیز بررسی می‌شود.

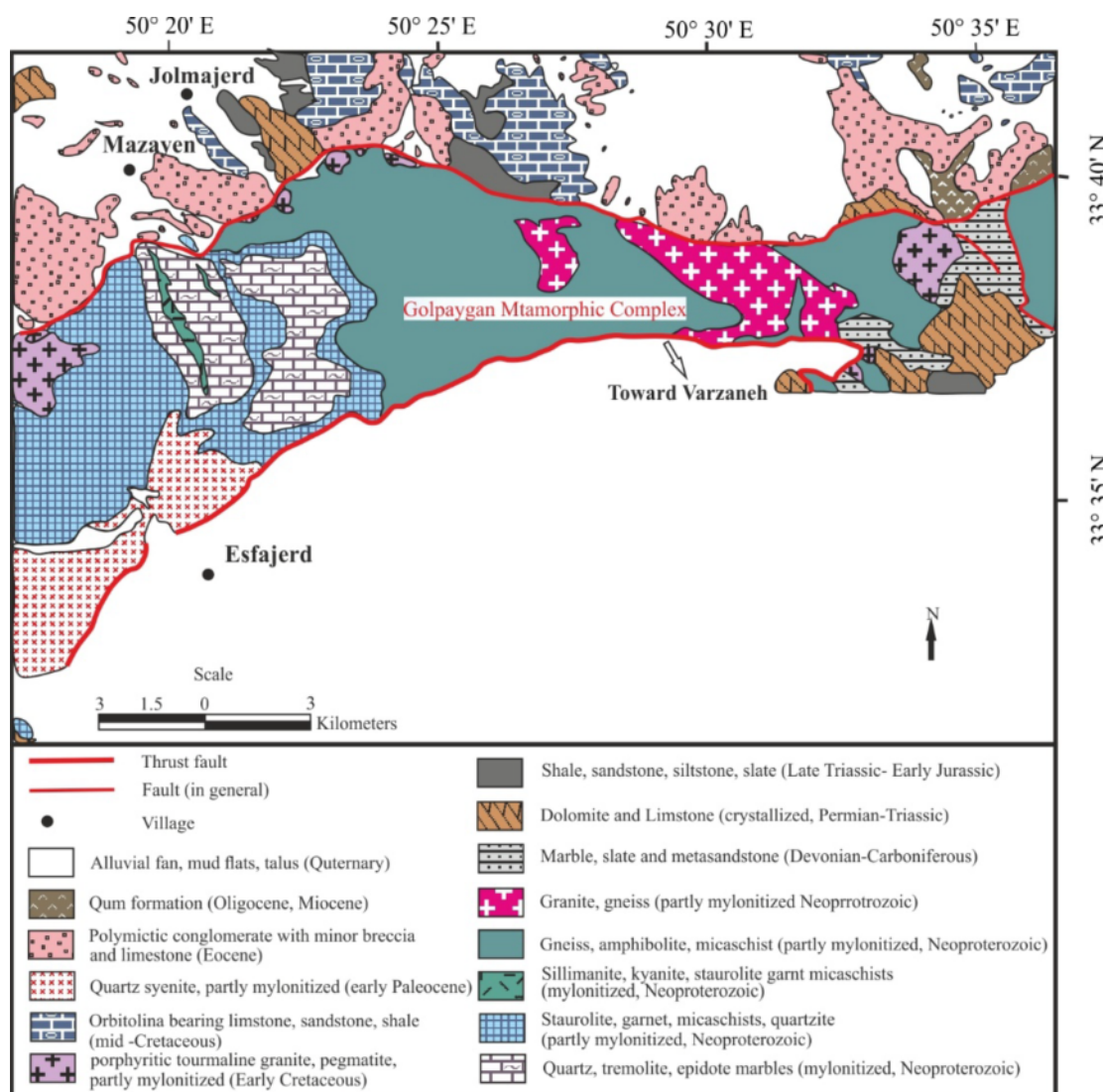
**مقدمه**  
میگماتیت‌ها سنگ‌های دگرگونی ناهمگنی شامل آمیخته‌ای از لوکوسوم (بخش‌های روشن)، ملانوسوم (بخش‌های تیره) و مزووسوم (بخش‌های تیره-روشن) هستند [۲۱]. اصطلاح میگماتیت در اینجا بر اساس تعریف مراجع [۳، ۴] است. مزووسوم، ملانوسوم و لوکوسوم واژه‌هایی توصیفی برای قسمت‌های مختلف میگماتیت است. مزووسوم همان گنیس اصلی است که دچار تغییر شده است. اصطلاح لوکوسوم برای قسمت‌های روشن شبیه آذرین بکار می‌رود و قسمت‌های تیره و نازک لبه لوکوسوم که بین لوکوسوم و مزووسوم قرار دارد ملانوسوم خوانده

فروزانش و سرانجام برخورد و بسته شدن نئوتیس است. از این رو، پهنه سندنج - سیرجان یک زوج نوار دگرگونی (بیشتر در حد رخساره شیست سبز ± آمفیبولیت و بندرت اکلوژیت) است که به واسطه بازشدگی نئوتیس در اواخر پرمین - اوایل تریاس و سپس فروزانش آن در ژوراسیک پیشین تا برخورد نهایی در کرتاسه پسین تا ترشاری به صورت کرانه فعل درآمده است [۱۱، ۱۲]. سنگ‌های دگرگونی گلپایگان-موته را به پرکامبرین نسبت داده‌اند [۱۳]، ولی یافته‌های جدید بیانگر آن است که سنگ مادر پرکامبرین و دگرگونی بر اثر فعالیت‌های کوهزایی جوان تر رخ داده است [۱۴]. در ناحیه موته- گلپایگان، دگرگونی ناحیه‌ای رخساره آمفیبولیت در ژوراسیک پسین [۱۵] و دگرگونی رخساره شیست سبز در گستره زمانی کرتاسه تا ترشاری آغازین [۱۶] رخ داده است.

### جاگاه زمین‌شناسی

منطقه مورد بررسی در شمال شرق شهرستان گلپایگان و در غرب ورقه زمین‌شناسی ۱۱۰۰۰۰۰ محلات [۱۰] در اطراف روستای یکه‌چاه با مختصات طول‌های جغرافیایی  $50^{\circ} 27' 34''$  تا  $50^{\circ} 42' 50''$  شرقی و عرض‌های جغرافیایی  $39^{\circ} 39' 09''$  تا  $39^{\circ} 33' 13''$  شمالی واقع است. این منطقه در پهنه‌بندی ساختاری -رسوبی ایران، بخشی از پهنه سندنج - سیرجان است. روند ساختاری عمومی پهنه سندنج - سیرجان شمال غرب - جنوب شرق بوده و همانند روند کمان ماگمایی ارومیه - دختر و کوهزاد زاگرس است. مجموعه دگرگون شده موته- گلپایگان به شکل یک خمیدگی ساختاری دارای روند نسبتاً عمود بر پهنه ساختاری سندنج - سیرجان است (شکل ۱).

پهنه سندنج - سیرجان نتیجه باز شدن، گسترش،



شکل ۱ نقشه زمین‌شناسی مجموعه دگرگونی شمال شرق گلپایگان (برگرفته از مرجع [۱۷]).

## شواهد صحرایی

منطقه مورد بررسی شامل تنوعی از گنیس‌ها (ارتونگنیس و پاراگنیس) و پاراگنیس‌های میگماتیتی شده به همراه آمفیبولیتها و شیسته‌های ارتونگنیس‌ها با رنگ روشن و به صورت توده‌ای و با حجم بسیار در منطقه کاملاً نمایان هستند. آمفیبولیتها دارای رنگ سبز بسیار تیره تا سیاه هستند و در نمونه دستی وزن حجمی بیشتری نسبت به پاراگنیس‌ها دارند. آنها به صورت آذرین لایه در لایه‌ای پاراگنیس‌ها دیده می‌شوند. پاراگنیس‌ها در مجموع رخنمون-های کوچکی در منطقه مورد بررسی دارند. پاراگنیس‌ها پستی و بلندی نسبتاً ملایمی در منطقه ایجاد کرده‌اند یک لایه‌بندی اولیه در پاراگنیس‌ها کاملاً مشهود است که می‌تواند دلیلی بر سنگ مادر رسوبی این سنگ‌ها باشد. پاراگنیس‌ها دارای رنگ خاکستری تیره، ریزدانه تا دانه‌درشت و دارای برگواره و خطواره (برگوارگی L-S) هستند. در بعضی از نمونه‌ها، کانی‌های تیره و روش پهن، کشیده و جهت یافته در سنگ‌ها کاملاً نمایان است. از جمله کانی‌های تیره در این پاراگنیس‌ها، بیوتیت است که فراوان در این نمونه‌ها وجود دارد و در نمونه دستی و صحراء نیز به خوبی قابل روئیت است. به علت فرسایش در راستای دره‌ها، کانی بیوتیت باعث جلای خاص و براق بودن این سنگ‌ها شده است. شواهد دگرشکلی در مقیاس صحرایی تقریباً در همه سنگ‌ها دیده می‌شود.

## روش کار

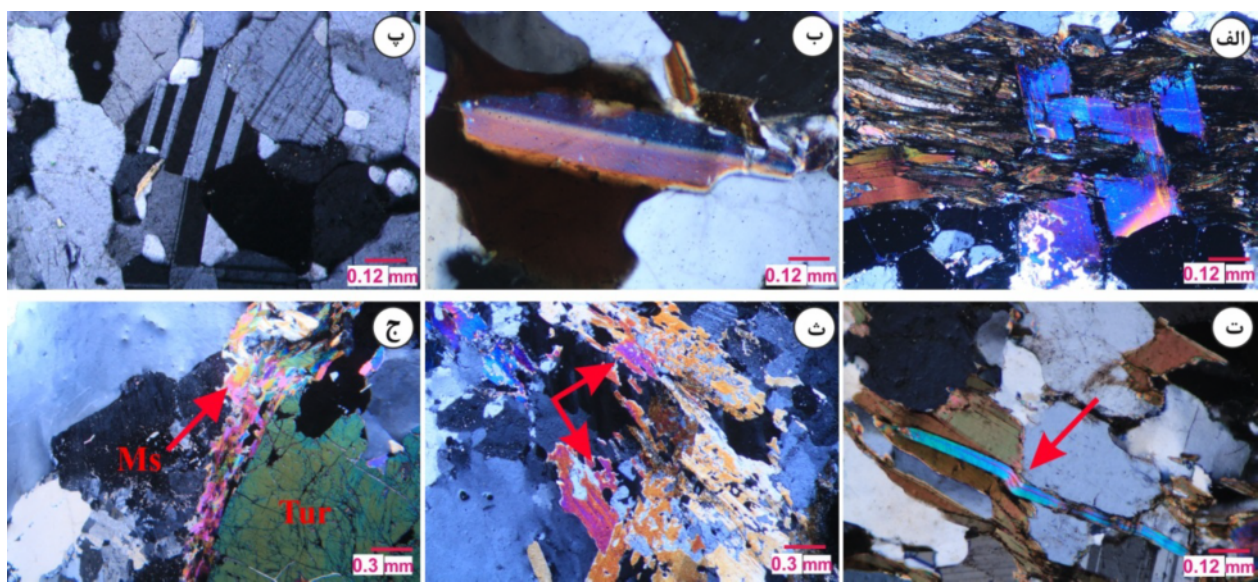
به منظور بررسی‌های سنگنگاری در پاراگنیس‌های منطقه، پس از انجام بازدیدهای صحرایی، رخنمون‌های سنگی مناسب انتخاب و حدود ۱۴۰ نمونه با تعیین مختصات جغرافیایی دقیق و به طور اصولی برداشت شد. نمونه‌های برداشت شده از این مناطق بدقت از نظر صحرایی توصیف و بررسی شدند که از این میان، از ۴۵ نمونه مقطع نازک تهیه و بررسی گردید.

## سنگنگاری

براساس بررسی‌های سنگ نگاری پاراگنیس‌های مورد بررسی شامل بیوتیت گنیس و بیوتیت گارنت گنیس هستند که میگماتیتی شده‌اند. به همراه این سنگ‌ها آمفیبولیت و بندرت رگه‌های پگماتیتی و کوارتزیتی نیز دیده می‌شود. بیوتیت گنیس‌ها: این سنگ‌ها برگواره‌دار، متوسط دانه و بندرت درشت‌دانه، دارای بافت‌های ورقه‌شکفتی (لپیدوبلاستی)، ورقه دانه شکفتی (لپیدوگرانوبلاستی)، دانه‌ای و سیمپلکتیت هستند.

کانی‌های اصلی آن‌ها شامل کوارتز، پلازیوکلاز، فلدسپار و بیوتیت و کانی‌های فرعی مسکویت، تورمالین، آپاتیت، احتمالاً دیستن، کلریت، کانی‌های کدر، اپیدوت، روتیل، زیرکن و سریسیت هستند. برگوارگی از بیوتیت، فلدسپار، آپاتیت، زیرکن و اکسیدهای آهن - تیتان به طور تقریباً موازی تشکیل شده است و کلریت و مسکویت به علت دگرگونی پسرونده تشکیل شده‌اند. کوارتز‌های بی‌شکل (Xenomorphic) با خاموشی موجی موزایی برگواره اصلی هستند. بیوتیت قهوه‌ای بخش عمده برگواره را تشکیل می‌دهد. بیوتیت‌ها (جز بیوتیت‌های بی‌شکل که حالت لکه‌ای دارند) رخ آشکار دارند و کشیده بوده که در بعضی مقاطع سرنیزهای هستند. برخی از بیوتیت‌ها نسبت به برگواره اصلی زاویه دارند که ظاهرآ پس از آن تشکیل شده‌اند. بیوتیت دارای میانبارهایی از زیرکن (بی‌شکل باله سوخته) و آپاتیت بی‌شکل است و در تعداد بسیار کمی از نمونه‌ها، بیوتیت در راستای سطوح رخ به طور جزئی به کلریت تبدیل شده است. برخی از بیوتیت‌ها (بیوهیه بیوتیت‌های بی‌شکل) به طور بخشی به مسکویت تبدیل شده‌اند (شکل‌های ۲ الف و ب). کوارتز دارای خاموشی موجی و گاهی خاموشی صفحه شطرنجی است و اغلب شکل‌های چندگوشی با زاویه دوستخی ۱۲۰ درجه نشان می‌دهد که نشان دهنده تبلور در حالت ایستا در بالای ۵۰۰ درجه سانتی‌گراد است [۱۸]. برخی از کوارتزها نیز پهن و کشیده هستند. کوارتزها دارای میانبارهایی از روتیل، بیوتیت و پلازیوکلاز هستند.

پلازیوکلازها دارای ماکل تکراری، پریکلین و تارتون هستند (شکل ۲ پ). بعضی از پلازیوکلازها دارای میانبارهایی از کوارتز گرد شده هستند. مسکویت‌ها که معمولاً نسبت به برگواره اصلی زاویه دارند و به خرج کانی‌های دیگر مثل بیوتیت و پلازیوکلاز تشکیل شده‌اند بnderت دارای ماکل هستند و در تعداد کمی از مسکویت‌ها تاخورده‌گی (شکنج) و چین‌خوردگی قابل مشاهده است. بعضی از مسکویت‌ها از میان کانی‌های دیگر عبور کرده و آن‌ها را قطع کرده‌اند که نشان دهنده رشد مسکویت پس از آن کانی‌هاست (مسکویت تأخیری) (شکل ۲ ت). زیرکن و آپاتیت بصورت نیمه شکل‌دار و بی‌شکل در متن سنگ و بصورت میانبار نیز دیده می‌شوند. روتیل در تعدادی کمی از نمونه‌ها قابل مشاهده است، برخی از این روتیل‌ها دارای لبه خلیجی و یا بافت آتولی هستند که کوارتز را در بر گرفته‌اند. گاهی ایلمینیت به صورت لبه سیاه در اطراف بعضی از روتیل‌ها دیده می‌شود. اسفن نیز بصورت بلور آزاد در اطراف این روتیل‌ها پراکنده است.



شکل ۲ الف- بیوتیت که بطور بخشی تبدیل به مسکویت شده است، ب- بیوتیت بی شکل که تبدیل به مسکویت شده است، پ- ماکل تکراری در پلازیوکلаз، ت: مسکویت دارای شکنج که کانی کوارتز، پلازیوکلاز و بیوتیت را قطع کرده است (پیکان)، ث- سیمپلکتیت مسکویت و کوارتز (فلش) در رگه پigmاتیتی، و ج- بلورهای درشت تورمالین (Tur) و کوارتز، مسکویت و پلازیوکلاز در رگه پigmاتیتی، تصاویر در نور مقاطع XPL، ثبت شده‌اند.

شکفتی و ورقه دانه شکفتی دیده می‌شود. کانی‌های اصلی تشکیل دهنده آن شامل کوارتز، فلدسپار، بیوتیت و کانی‌های فرعی آن شامل گارنت، مسکویت، اسفن، آپاتیت، زیرکن، روتیل، اپیدوت و کانی کدر هستند. بیوتیت دارای ریزساختارهای متفاوتی است گاهی خوش‌های یا سنبله‌ای است، یا در محل تماس با کوارتز و پلازیوکلاز به صورت خورده شده و هر از گاهی به صورت میخکوش (ریزساختار میخکوش pinning microstructure) به این صورت است که دانه‌های با چگالی جایه‌جایی پایین با هجوم به داخل دانه‌های با چگالی جایه‌جایی بالا سبب کاهش انرژی آزاد درونی انباشته می‌شوند و به عنوان انتقال مرز دانه‌ای معروف است [۱۹] دیده شده، یا ساختار پنجره‌ای نشان می‌دهد. در بعضی از پلازیوکلازها و بیوتیتها، آثار تبدیل شدن به مسکویت دیده می‌شود که نشان‌دهنده ورود سیال‌های سیلیکاته آبدار تأخیری است [۲۰]. در واقع مزوسم همان کانی‌شناسی و ویژگی‌های بیوتیت گنیس‌ها و بیوتیت گارنت گنیس‌ها را دارد.

**لوکوسوم‌ها:** لوکوسوم‌ها بر اساس بررسی‌های صحرایی و سنگ-نگاری و زمین‌شیمیایی در سه گروه جای می‌گیرند [۲۱] که در ادامه توضیح داده می‌شود.

لوکوسوم نوع ۱: در صحراء بصورت رگه‌های نازک در اندازه

بیوتیت گارنت گنیس‌ها: این سنگ‌ها نیز از نظر ویژگی‌های ظاهری و میکروسکوپی شبیه به بیوتیت گنیس‌ها هستند. لایه-بندی ویژه سنگ‌های رسوبی در آن‌ها کاملاً نمایان است و در صحراء نمونه دستی تقریباً تیره و به علت فراوانی بیوتیت براق هستند. این سنگ‌ها دانه شامل کوارتز، فلدسپار و بیوتیت اصلی تشکیل دهنده آن‌ها شامل گارنت، زیرکن، روتیل، مسکویت، آپاتیت، کانی‌های فرعی شامل گارنت، زیرکن، روتیل، مسکویت، آپاتیت، اکسیدهای آهن و ... هستند.

#### سنگ‌نگاری میگماتیت

میگماتیت از سه بخش مزوسم، لوکوسوم و بندرت ملانوسوم تشکیل شده است. مرز بین مزوسم - لوکوسوم به علت تغییر ناگهانی در اندازه دانه، رنگ و مقدار کانی مافیک کاملاً نمایان است. ملانوسوم (گاهی) به صورت لایه‌ای بسیار نازک، دارای برگواره‌ای شامل بیوتیت، کوارتز و پلازیوکلاز، لوکوسوم را احاطه کرده است. اندازه دانه در ملانوسوم معمولاً بزرگ‌تر از مزوسم است.

مزوسم در واقع همان گنیس دارای برگواره‌دار و متوسط دانه است که در آن بافت‌های ورقه‌دانه‌ای (لپیدوگرانولار)، ورقه‌شکفتی (لپیدوبلاستی)، دانه‌شکفتی (گرانوبلاستی)، (سیمپلکتیتی)، میرمکیتی و گاه بافت‌های ترکیبی دانه ورقه

لوکوسومها در نمونه‌های مورد بررسی ضخامتی از چند متر سانتی‌متر تا چند دسی‌متر دارند. متوسط دانه تا درشت‌دانه و سفیدرنگ هستند و معمولاً با مزوسوم مرز نمایانی دارند. آن‌ها ساختارهای لایه‌ای، رگه‌ای، پتیگماتی، چشمی، چین‌خورده، شبکه‌ای و لخته‌ای نشان می‌دهند (شکل ۳). لوکوسوم‌هایی که بصورت رگه‌های پگماتیتی دیده می‌شوند فراوانی اندکی دارند و دارای کانی‌شناسی ساده‌ای هستند. این نوع لوکوسوم‌ها اغلب از کوارتز و سپس تورمالین، پلازیوکلاز و مسکویت تشکیل شده‌اند. بلورهای درشت کوارتز در حد سانتی‌متر با مرزهای مضرسی هستند و ریزدانه‌های کوارتز نیز در مرز آن‌ها دیده می‌شوند که دارای خاموشی موجی هستند. بلورهای درشت تورمالین که در نمونه دستی نیز آشکارا دیده می‌شوند در حد چند سانتی‌متر و دارای شکستگی فراوان هستند. این بلورها در محل شکستگی‌ها به کوارتز تجزیه شده‌اند. تورمالین به صورت میانبار درون کوارتز در این رگه‌ها نیز دیده می‌شود. مسکویت در اطراف تورمالین‌ها دیده می‌شود و بافت سیمپلکتیت نشان می‌دهد که نشان‌دهنده ورود سیال‌های سیلیکاته آبدار تأخیری است [۲۰]. پلازیوکلازها ریز بوده و دارای ماکل هستند و تا حدی به سریسیت تجزیه شده‌اند (شکل‌های ۲ ث و ج). این نوع لوکوسوم‌ها بر اساس تقسیم‌بندی مرجع [۲۱]، جزء گروه لوکوسوم‌های در منبع هستند.

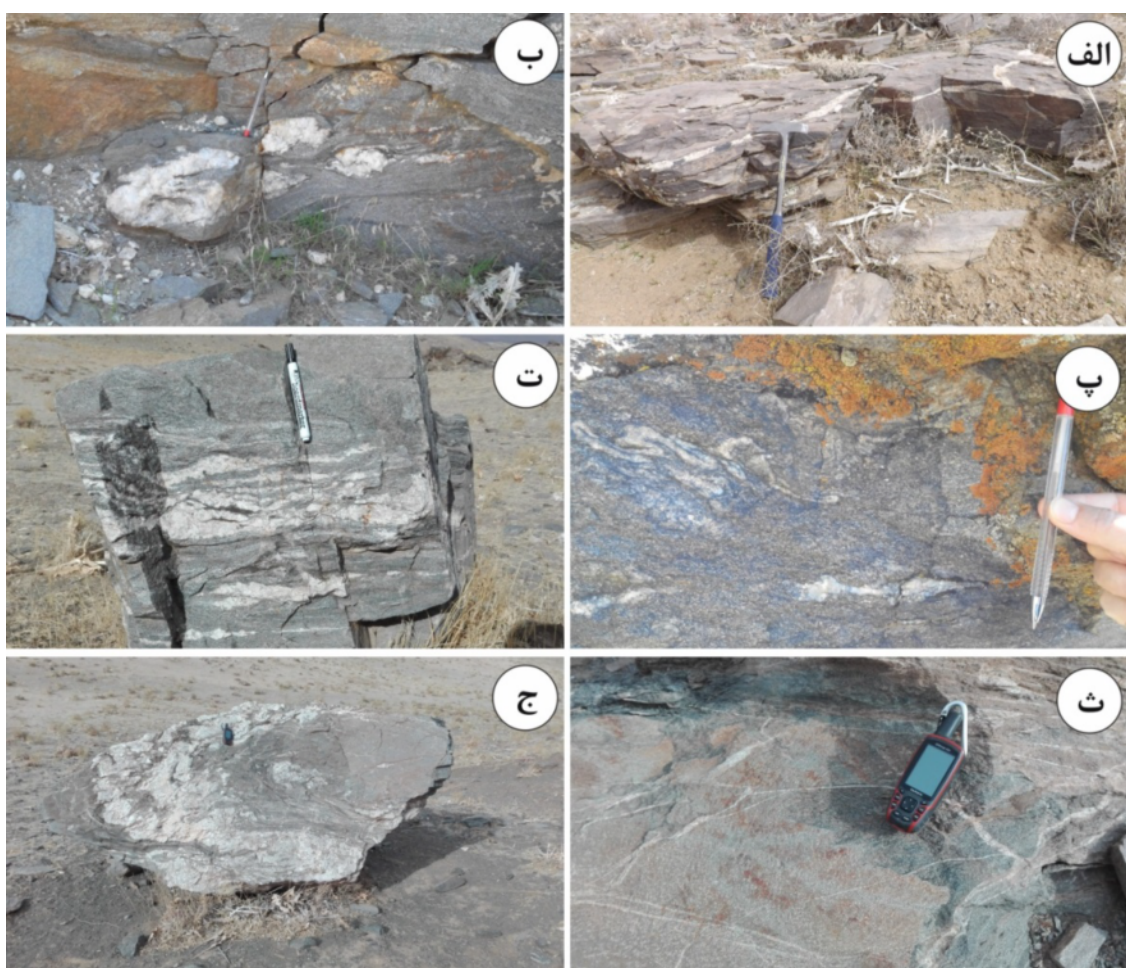
لوکوسوم‌های رگه‌ای بصورت آذرین لایه یا دایک هستند و بافت دانه شکفتی و سیمپلکتیت نشان می‌دهند. این لوکوسوم‌ها دارای کانی‌های کوارتز، فلدسپار، بیوتیت، مسکویت، اپیدوت و بندرت گارتنت هستند. مسکویت‌ها که جهت‌یابی مشخصی نشان نمی‌دهند معمولاً کنار بیوتیت‌ها قرار گرفته‌اند و به نظر می‌رسد که به خرج بیوتیت تشکیل شده باشند. گارتنت‌ها معمولاً درشت هستند و به کوارتز، کلریت و گاهی اپیدوت تجزیه شده‌اند. این نوع لوکوسوم‌ها بر اساس تقسیم‌بندی مرجع [۲۱] در گروه لوکوسوم‌های نوع ۳ یا رگه‌ای قرار می‌گیرند.

لوکوسوم‌های لایه‌ای و پتیگماتی از برگواره اصلی در مزوسوم پیروی می‌کنند (یعنی در راستای برگواره اصلی قرار گرفته‌اند) و برگواره داخلی ضعیفی نشان می‌دهند. این نوع لوکوسوم‌ها بر اساس تقسیم‌بندی مرجع [۲۱] در گروه لوکوسوم‌های در منبع قرار می‌گیرند.

میلی‌متر تا سانتی‌متر بصورت میگماتیت لایه‌ای دیده می‌شوند. این نوع به عنوان لوکوسوم در منبع (in-source leucosome) خوانده می‌شوند. این نوع لوکوسوم‌ها در زیر میکروسکوپ، دارای بافت دانه‌ای و درشت دانه هستند که از بلورهای نیمه شکل دار پلازیوکلاز، دانه‌های آمیبی شکل کوارتز، فلدسپار پتاسیم بین شبکه‌ای (interstitial) و مسکویت‌های بزرگ بدون جهت‌یابی تشکیل شده است. کوارتز و فلدسپار پتاسیم معمولاً بلورهای پلازیوکلاز باقی‌مانده را احاطه می‌کنند. دانه‌ای فلدسپار پتاسیم هنگامی که توسط کوارتز احاطه می‌شوند شکل بیضوی با کشیدگی در راستای برگواره نشان می‌دهند. در این نوع لوکوسوم یک برگواره نه چندان نمایان توسط بیوتیت تشکیل شده است. در هر دو سمت صفحه رخ، کوارتز، پلازیوکلاز و فلدسپار پتاسیم بازتابلور به دانه‌های جدید چندگوشی را نشان می‌دهند [۲۱، ۲].

لوکوسوم نوع ۲: در این گروه، سه زیر رده قابل تشخیص است. اولین نوع لوکوسوم در جاست، که لخته (منظور لوکوسوم) در گنیس میگماتیتی نزدیک قسمت مافیک – فرامافیک تشکیل می‌شود. در این لوکوسوم، اندازه دانه درشت‌تر از گنیس احاطه کننده است، اما برگواره موجود را حفظ کرده است. لوکوسوم از کوارتز، پلازیوکلاز و بیوتیت تشکیل شده که بافت دانه‌ای درشت با یک برگواره نه چندان نمایان را تشکیل داده‌اند. دومین زیر رده از نوع رگه‌های پگماتیتی است که در قسمت جلویی یا نزدیک به پهنه میگماتیتی است که به عنوان رگه‌های در منبع تقسیم‌بندی می‌شوند. سومین زیر رده خارج از پهنه میگماتیتی است که می‌تواند به عنوان رگه‌های روشن رده‌بندی شود. این رگه‌ها مشابه قبلی‌هایست با این تفاوت که فلدسپار پتاسیم ندارد، و مقدار مسکویت بیشتری دارد [۲۱، ۲].

لوکوسوم نوع ۳: این نوع بصورت رگه‌ها یا آذرین لایه‌های در مقیاس متر است. این نوع لوکوسوم از دانه‌های بسیار درشت کوارتز، پلازیوکلاز و مسکویت بدون جهت یابی ترجیحی تشکیل شده است. کوارتز دارای خاموشی صفحه شطرونگی است و پلازیوکلاز به دانه‌های چندگوشی با نقطه اتصال ۱۲۰ درجه بازتابلور یافته است که دلالت بر دگرشکلی شکل پذیر دما بالا دارد. برخی از این زیر گروه گارتنت و بلورهای درشت تورمالین هستند [۲۱، ۲].



شکل ۳ ساختهای الف- رگهای، ب- چشمی، پ- پتیگمایی، ت- لایهای، ج- شبکهای و چ- چین خورده در پاراگنیس‌های میگماتیتی شده.

پلازیوکلازها به صورت بلورهای صفحه‌ای نیمه‌شکل‌دار دیده می‌شوند، و بندرت در بعضی از لوکوسوم‌ها منطقه‌بندی نشان می‌دهند و ماکل‌های تکراری در این دانه‌ها رایج هستند و بعضی از این بلورها کمی به سریسیت تجزیه شده‌اند. بیوتیت در لوکوسوم معمولاً شکل‌دار بوده و نسبت به بیوتیت موجود در مزوسوم کمتر و ریزتر است. بیوتیت در بیشتر نمونه‌ها جهت- یابی تصادفی داشته و در بعضی از نمونه‌های دیگر به صورت میانبار درون کوارتز قرار دارد و در راستای برگواره مزوسوم جهت یافته است. مسکویت در لوکوسوم بسیار بیشتر از مزوسوم و درشت‌تر و در حال تبدیل به بافت سیمپلکتیت هستند. درمجموع، کوارتز و پلازیوکلاز، فلدسپار قلیایی و مسکویت لوکوسوم نسبت به این کانی‌ها در مزوسوم درشت‌تر هستند، ولی بیوتیت‌ها ریزتر هستند. ملانوسوم را به مقدار بسیار جزئی و فقط در تعداد کمی از نمونه‌ها می‌توان تشخیص داد و اغلب از بیوتیت تشکیل شده است.

در حالت کلی، لوکوسوم‌ها در برخی موارد توسط ریزگسل- هایی از هم جدا شده‌اند و به طور جزئی چین خورده‌اند که اشاره به این دارد که گنیس‌ها پس از میگماتیتی شدن، دچار دگر‌شکلی شکننده و شکل‌پذیر شده‌اند. بافت‌های پرتیتی، غربالی، دانه‌شکفتی، سیمپلکتیت و میرمکیت در لوکوسوم دیده می‌شوند. کانی‌های اصلی تشکیل‌دهنده آن متشکل از میکروکلین، کوارتز و پلازیوکلاز با مقدار کم (یا کاهش در مقدار) بوده و بیوتیت و مسکویت به عنوان کانی فرعی هستند. کوارتز به صورت دانه‌های دگر‌شکفت (اگزنوبلاستیک) با لبه یا مرز همه جور دانه که در بعضی از لوکوسوم‌ها مرزهای بخیه‌ای دارد با ۴ میلی‌متر عرض دیده می‌شوند و خاموشی موجی نشان می‌دهند.

پلازیوکلاز و فلدسپار پتاسیم معمولاً سطوح بلوری ندارند و دانه‌متوسط تا درشت‌دانه هستند. بلورهای میکروکلین بی‌شکل تا نیمه شکل‌دار و معمولاً دارای ماکل مشبك هستند.

تشکیل شده است، ساختار برگواره‌ای متاتکسیت‌ها توسط جریان توده‌ای، میگماتیت‌های شولن و شیلرن یا دیاتکسیت را تشکیل می‌دهند. میگماتیت‌های دیاتکسیت بدون برگوارگی که لایه‌بندی آن‌ها تقریباً محو شده است [۲۲]، با توجه به شواهد صحرایی میگماتیت‌های مجموعه دگرگونی شمال شرق گلپایگان بیشتر از نوع متاتکسیت هستند. هایبلات [۲۳] شواهد زیر را که در برخی از مقاطع نازک لوکوسوم‌های منطقه دیده شده است، از نشانه‌های ذوب بخشی در لوکوسوم می‌داند: مرزهای بخشی‌ای برای کوارتز که نشان‌دهنده رخداد دمای بالا است، بیوتیت کم، پلازیوکلاز پراکنده، گارنت بسیار کم، مسکویت و بیوتیت تأخیری، پلازیوکلازهای دگرسان شده که به‌وسیله مذاب متبلور شده یا با فلدسپار پتانسیم جانشین شده‌اند (شکل ۵ الف). در میگماتیت‌های پاره گدازشی که کانی‌ها از یک مذاب رشد می‌کنند جهت یافته‌گی مشخصی شکل نمی‌گیرد و در مواردی تنها جهت یافته‌گی بسیار ضعیفی در بعضی از کانی‌ها مانند بیوتیت قابل تشخیص است [۴] در برخی لوکوسوم‌های مورد بررسی نیز جهت‌بایی مشخصی دیده نمی‌شود.

در برخی از لوکوسوم‌ها، کانی‌ها همبry اتفاقی دارند. بافت‌های دگرگونی بالغ یا در حال تعادل همبry منظم دارند و بافت‌های گرانیتی (بافت‌های برآمده از رشد) همبry اتفاقی دارند [۵]، بنابراین لوکوسوم‌هایی که همبry اتفاقی دارند در اثر سرد شدن یک مذاب (در نتیجه ذوب بخشی) به وجود آمده‌اند. منطقه‌بندی شکل‌دار در پلازیوکلازهای لوکوسوم [۲۴]، بیوتیت‌های سنبله‌ای و بیوتیت خورده شده که در تماس با کوارتز و پلازیوکلاز هستند [۲۰]، سیمپلکتیت کوارتز و مسکویت [۲۵] و ماکل دوقلوی ساده [۲۶] نشان‌دهنده تشکیل آنها از مذاب است (شکل‌های ۵ ب، پ و ت).

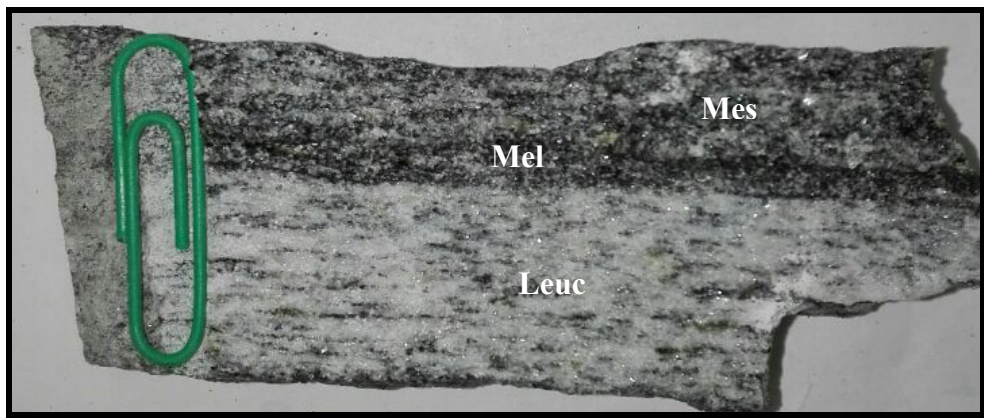
ملانوسوم: در بعضی از نمونه‌های گنیس‌های میگماتیتی شده ملانوسوم دیده می‌شود، ملانوسوم‌ها اغلب جهت‌بایی ترجیحی نشان می‌دهند و از لایه‌های نازک با ضخامت تا ۳ میلی‌متر تشکیل شده‌اند که لوکوسوم را در بر گرفته‌اند. ملانوسوم دارای کانی‌های کوارتز، بیوتیت، پلازیوکلاز، فلدسپار تجزیه شده (شدید)، کانی‌های کدر و بندرت مسکویت ریز هستند.

#### سازوکار تشکیل میگماتیت‌های منطقه

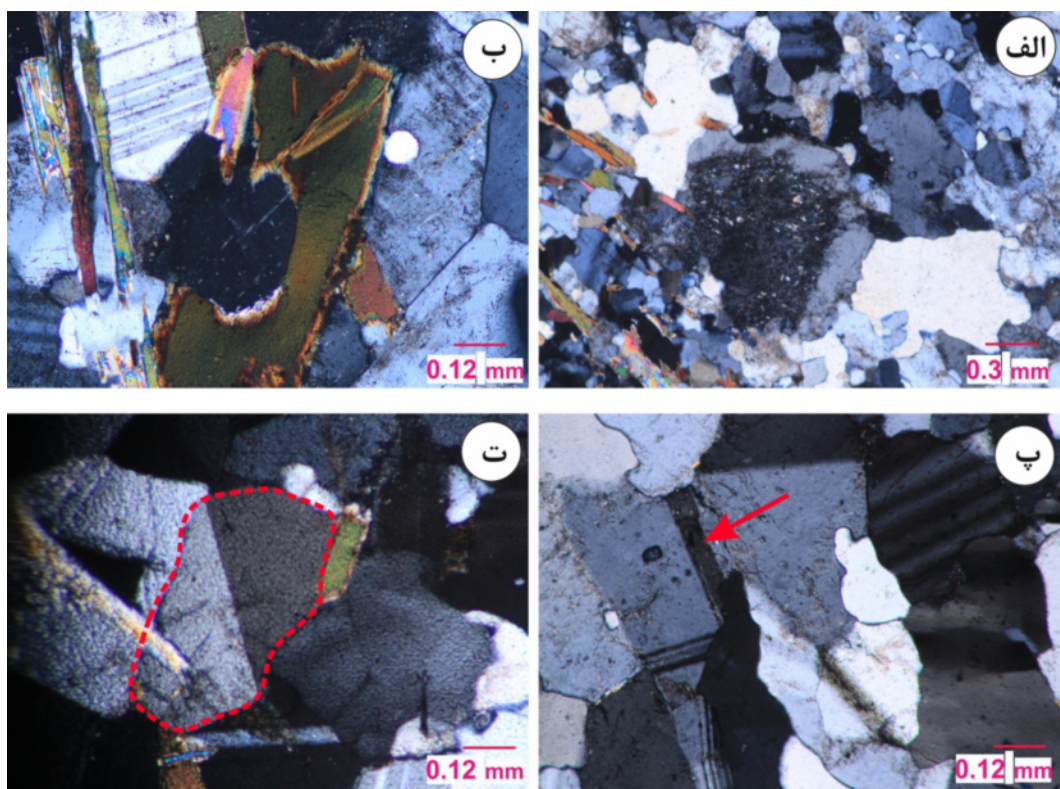
ساختارهای میگماتیتی در منطقه مورد بررسی در مجموع چندان گستردۀ نیستند و بر اساس بررسی‌های صحرایی و سنگ نگاری به نظر می‌رسد که توسط سازوکارهای مختلف تشکیل شده‌اند که در ادامه توضیح داده می‌شود.

**ذوب بخشی:** در میگماتیت‌های منطقه، بافت‌های لایه‌ای، پتیگمایی، چشمی، لکه‌ای و چین‌خورده قابل مشاهده هستند (شکل ۴).

در میگماتیت‌های لایه‌ای یا میگماتیت‌های زبانه‌ای، نئوسوم‌ها (مجموع لوکوسوم و ملانوسوم) و لوکوسوم‌ها لایه‌بندي را تشکیل می‌دهند که اغلب به ذوب بخشی در شرایط رخساره‌های آمفیبولیت بالایی و گرانولیت نسبت داده می‌شود. نئوسوم‌ها شامل مواد مذاب پیشین همراه با بلورها هستند و لوکوسوم‌ها در اصل بیانگر مذاب پیشین هستند که از بلورها جدا شده‌اند. لوکوسوم‌ها، نئوسوم‌ها در درون لایه‌های موازی با یک برگوارگی زمین‌ساختی جدا شده قرار دارند و میگماتیت‌های لایه‌ای یا متاتکسیت‌ها را تشکیل می‌دهند که لایه‌بندی در آن‌ها حفظ شده است و اغلب نتیجه جدایش ماگما (نئوسوم یا لوکوسوم) طی دگرشکلی هستند. این نوع میگماتیت‌ها با ساختارهای لایه‌ای، لکه‌ای، شبکه‌ای، چین‌خورده و رگه‌ای مشخص می‌شوند. در جایی که مقادیر بزرگ‌تری از مذاب



شکل ۴ قسمت‌های مختلف میگماتیت مورد بررسی در نمونه دستی. (Mes: مزانوسوم، Mel: ملانوسوم و Leuc: لوکوسوم).



شکل ۵ الف- پلازیوکلاز با دو مرحله رشد، هسته پر از میانبار و لبه بدون میانبار در لوکوسوم، ب- خوردگی در بیوتیت، پ- منطقه‌بندی در پلازیوکلاز (پیکان)، و ت- ماکل دوقلوی ساده در پلازیوکلاز، (تصاویر در نور XPL ثبت شده‌اند).

فلدسبار در این لوکوسوم سطوح بلوری آشکاری را نشان نمی‌دهند و همچنین منطقه مورد بررسی در یک پهنه برشی واقع است [۲۹]، احتمال رخداد جدایش دگرگونی در اثر نیروهای زمین‌ساختی، ممکن به نظر می‌رسد.

**دگرنهادی:** رگه‌های لوکوسوم که به‌وسیله فرآیند گرمابی تشکیل می‌شوند درشت‌دانه یا پگماتیتی هستند. وجود رگه‌های سیلیسی و پگماتیتی که در راستاهای مختلف، میگماتیت‌ها را قطع کرده‌اند، شاهدی بر حضور سیال و دگرنهادی در منطقه است. این رگه‌های پگماتیتی بر اساس تقسیم‌بندی مرجع [۲۰] در گروه لوکوسوم در منبع قرار می‌گیرند.

#### شواهد دگرگونی پسروند

شواهد دگرگونی پسروند در نمونه‌های مورد بررسی شامل تبدیل روتیل به اسفن و ایلمنیت، سیمپلکتیت (کوارتز + مسکوکیت)، بافت میرمکیت (کوارتز + پلازیوکلاز)، گارنت آتولی، تجزیه گارنت به کوارتز و کلریت (شکل ۶ الف) و یا تجزیه گارنت به اپیدوت و آمفیبول (شکل ۶ ب) است.

روتیل فقط در تعدادی از نمونه‌ها دیده شده است. در یکی از نمونه‌ها، ایلمنیت به صورت لبه سیاه و نازک اطراف روتیل را گرفته است (شکل ۶ پ) که اسفن به صورت آزاد نیز پیرامون

افزون بر موارد گفته شده، داسیلوا [۲۰] موارد زیر را که در نمونه‌های مورد بررسی نیز دیده شده است را نشان‌دهنده ورود سیال‌های سیلیکاته آبدار تأخیری می‌داند: ۱- مسکوکیتی شدن تورمالین، بیوتیت و پلازیوکلاز، ۲- وجود رگه‌های کوارتزی که سنگ‌های دیگر را قطع کرده است، ۳- دگرسانی پسروند در کانی‌هایی مثل گارنت و بیوتیت در توالی رسوی دگرگون شده. برخی از پژوهشگران وجود ریزساختارهای آذرین که اشاره به حضور مذاب دارند را در سنگ‌های با درجه بالای دگرگونی و میگماتیت‌ها نادر می‌دانند و یکی از دلایل آن را به دگرشکلی و بازتابلور زیر خط انجماد نسبت می‌دهند، زیرا در این حالت ریز ساختهای میگماتیت دچار تغییر می‌شوند [۲۷].

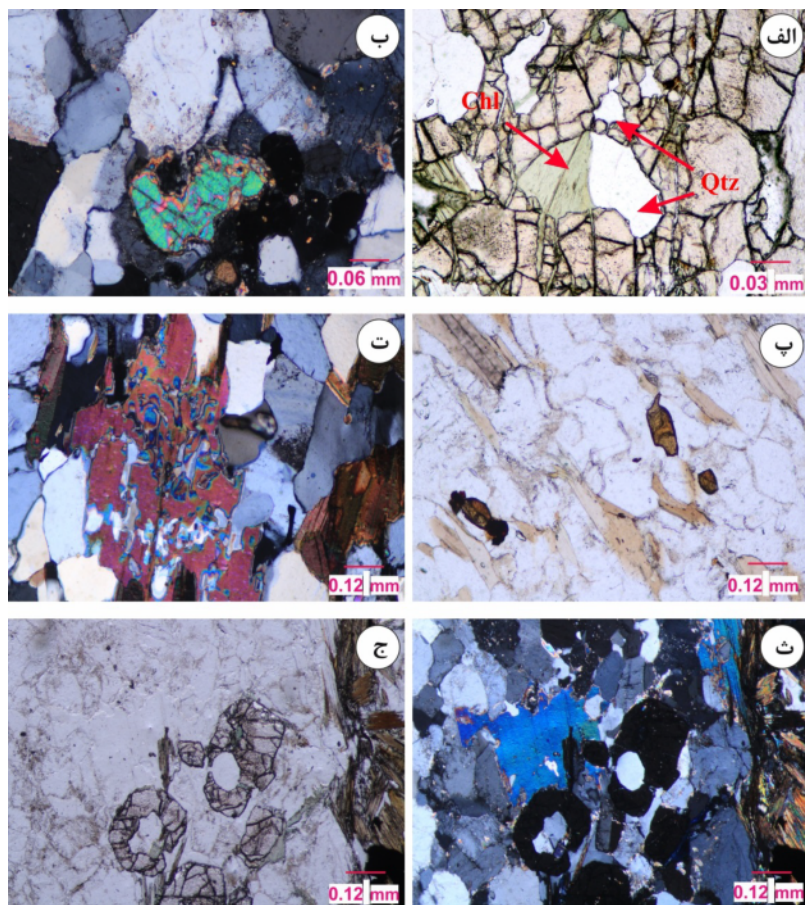
**جدایش دگرگونی:** مهم‌ترین معیار برای تشخیص جدایش دگرگونی، وجود لبه‌های مافیک (ملانوسوم) پیرامون لوکوسوم‌های میگماتیت‌هاست به طوری که مقدار و حجم ملانوسوم چنان باشد که بتوان گفت در اثر جدایش، لوکوسوم را تولید کرده است [۲۸]. با توجه به اینکه لبه ملانوسوم پیرامون بعضی از لوکوسوم‌ها قابل مشاهده است و از طرفی، در برخی موارد نیز توزیع دانه‌ها به صورت خوش خوشه بوده که مشخصه لوکوسوم‌های جدایش دگرگونی است [۵] و پلازیوکلاز و

(diffusion) صورت گرفته‌اند، این بافت‌ها نشان‌دهنده شرایط دما و فشار محدودی هستند که پس از مرحله اوج دگرگونی و با کاهش دما و فشار بوجود می‌آید. در هم‌رشدی کوارتز + مسکویت در رخساره آمفیبولیت بالایی تشکیل می‌شود. با کاهش دما و بالا آمدن، سیمپلکتیت کوارتز + مسکویت با مصرف فلدسپار پتابسیم شروع به رشد می‌کند. سیمپلکتیت کوارتز در دمای بیش از ۳۷۵ درجه سانتی‌گراد رشد می‌کند، که بازتاب دمای به اندازه ۲۵۰ درجه سانتی‌گراد پایین‌تر از دمای اوج دگرگونی است [۳۱].

این بافت زمانی شکل می‌گیرد که نرخ مهاجرت مرز دانه‌ای (GBM) فراتر از انتشار مرز دانه‌ای باشد [۳۲]. از آنجا که سیمپلکتیت می‌تواند در گستره ویژه‌ای از شرایط دما-فشاری و ترکیبات تشکیل شوند [۳۳]، این بافت‌ها فرصتی برای روشن کردن تاریخچه دگرگونی پس از شرایط اوج را فراهم می‌آورند. چنین بافت‌هایی نشان‌دهنده واکنش‌های آبزدایی مسکویت و یا واکنش‌های ذوب از نوع آبزدایی هستند [۳۴].

آن وجود دارد. گارنت نیز جانشینی‌های مختلفی نشان می‌دهد، به طوری که در یک نمونه توسط اپیدوت و آمفیبول و در نمونه‌های دیگر توسط کوارتز و جانشین شده است. اپیدوت به‌طور گسترده در دگرگونی درجه پایین تا متوسط در متاپلیت‌های پسروندی دیده می‌شود. کانی اپیدوت در رخساره اپیدوت-آمفیبولیت و یا رخساره آمفیبولیت در عمق کمتر از ۳۵ کیلومتر طی بالا آمدن روی رخساره پیشین قرار می‌گیرد [۳۰]. در این مرحله، اسفن  $\pm$  ایلمینیت جایگزین روتیل شده و اپیدوت + آمفیبول جایگزین گارنت‌ها می‌شوند. اسفن در مسیر پسروندی در نمونه‌های درجه متوسط تا پایین دیده می‌شود و قابلیت دگرگونی دارد [۲۳].

**بافت سیمپلکتیت:** بافت سیمپلکتیت (مسکویت + کوارتز) در بیشتر نمونه‌ها و در لوکوسوم، مزووسوم و ملانوسوم دیده می‌شود (شکل ۵ ت). در هم‌رشدی سیمپلکتیت دلیل مهمی بر دگرگونی پسروندی ناکامل است. زیرا در هم رشدی سیمپلکتیت نشان‌دهنده واکنش‌های متوقف شده‌ای است که در اثر پخش



شکل ۶ الف- گارنت (همه زمینه) که به کوارتز و پلازیوکلاز تجزیه شده است، PPL، ب- گارنت که به اپیدوت تجزیه شده است، XPL، پ- روتیل که دارای لبه سیاه از ایلمینیت است، PPL، ت- گارنت دارای بافت آتوالی که کوارتز و پلازیوکلاز را در بر گرفته است، XPL و ج- گارنت دارای بافت آتوالی، PPL.

(شکل‌های ۶ ث و ج). برخی از گارنت‌های دگرگونی در اثر فرآیندهای غیر تعادلی در سنگ‌های دگرگونی، ممکن است بافت‌هایی مانند هاله، سیمپلکتیت، ماهی گون، آتولی و غربالی به وجود آورند. بافت‌های آتولی انواع ویژه‌ای از بافت‌های تاج خروسی هستند که شامل یک حلقه گارنت بوده که مخلوطی از چند کانی (فاز) دیگر یا گارنت‌های جزیره‌ای را که در فازهای دگرگونی بعدی ایجاد شده‌اند احاطه کرده است. کانی‌های احاطه شده توسط حلقه آتولی معمولاً از بیوتیت، مسکویت، فلدسپار، کوارتز و اکسید آهن تشکیل شده‌اند [۳۹]. به طور کلی، ایجاد چنین بافت‌هایی به ویژه در گارنت به دلیل عدم تعادل نهایی در واکنش‌های زمین‌شیمیایی است که تحت تأثیر عوامل جنبشی از جمله مقدار سیال‌ها، یون‌های محلول و زمان قرار دارد. میانبارهای ریز گارنت به عنوان هسته‌ی تشکیل گارنت جدید در دگرگونی چندگانه با مسیرهای P-T پیچیده ساعت-گرد در سنگ‌های رسی مجموعه‌های دگرگون نیز از عوامل یادشده برای ایجاد این پدیده است [۴۰].

**میرمکیت:** یک نوع هرمشدی سیمپلکتیت از پلاژیوکلاز و کوارتز کرمی شکل است که در گرانیتوئیدهای توده‌ای و دگرشکل شده در متاپلیت‌ها، میگماتیت‌ها، آپلیت‌ها و پگماتیت‌ها دیده می‌شود [۴۱] و به نظر می‌رسد که احتمالاً برای شکل‌گیری آن دگرشکلی در زیر منحنی انجام ضروری باشد [۴۲]. فلدسپارها در دمای بالاتر از ۶۰۰ درجه سانتی‌گراد بیشتر در اثر سازوکار چرخش ریزدانه دگر ریخت می‌شوند که ممکن است با رشد میرمکیت همراه باشد [۴۳]. به اعتقاد هیبارد [۴۴] تشکیل میرمکیت یکی از نشانه‌های حضور مذاب طی دگرشکلی است و تشکیل آن را در ارتباط با همیافتی آن با ماگما در حال تبلور نهایی یا ماگما آبدار می‌دانند.

#### برداشت

به نظر می‌رسد که گنیس‌های مورد بررسی در منطقه با توجه به شواهد صحرایی و همبری کانیایی از نوع پاراگنیس هستند که در بعضی از رخمنون‌ها میگماتیتی شده‌اند. این سنگ‌ها دارای انباسته‌های کانیایی کوارتز + فلدسپار پتاسیم + گارنت + بیوتیت + پلاژیوکلاز  $\pm$  دیستن هستند. در تشکیل گنیس‌های میگماتیتی مورد بررسی، فرآیندهای ذوب بخشی، دگرنهادی و جدایش دگرگونی موثر بوده‌اند که در این بین، نقش ذوب بخشی دارای اهمیت است. شواهد ذوب بخشی شامل حضور مذاب، بیوتیت خورده شده، حضور سیمپلکتیت در لوکوسوم و مزووسوم، روتیل خلیجی، مرز بخیه‌ای بعضی از کوارتزها در لوکوسوم، منطقه‌بندی در بعضی از پلاژیوکلازها، مسکویتی

$K\text{-feldspar} + H^+ \rightarrow muscovite + quartz + plagioclase + K^+$ . (۱)

سیمپلکتیت مسکویت + کوارتز و یا میرمکیت (پلاژیوکلاز + کوارتز) در اثر مصرف فلدسپار پتاسیم (واکنش ۱) تشکیل می‌شوند. سیمپلکتیت مسکویت + کوارتز نشان‌دهنده تشکیل از مذاب است [۲۵]. سیمپلکتیت فرآیند بالا آمدن تائید می‌کند [۲۳].

با کاهش دما، این امکان وجود دارد که کانی‌ها (از قسمت برجای مانده) در میگماتیت با مذاب باقیمانده واکنش دهند. که امکان دو نوع واکنش وجود دارد: ۱- مذاب نهایی با قسمت جامد بر جامانده واکنش دهد و ۲- سیال آبدار با قسمت جامد برجای مانده واکنش دهد. هر دو واکنش باعث تشکیل کانی‌های آبدار می‌شوند. واکنش بین مذاب نهایی که پیاپی افزایش می‌یابد (و سنگ را ترک می‌کند) و قسمت جامد بر جای مانده نیاز به دمایی بالاتر از دمای انجام دارد که برای تشکیل سیمپلکتیت و مشابه آن نیاز است. سیال مورد نیاز برای انجام واکنش سیال آبکی- جامد از تبلور ماگما پاره گدازشی تشکیل می‌شود که در این مورد واکنش نزدیک دمای انجام دست. سیال همچنین ممکن است از یک منبع خارجی به دست آید که این فرآیند در دمای زیر خط انجام رخ می‌دهد که می‌تواند از رخساره آمفیبولیت به رخساره شیست سبز کاهش یابد [۲].

مقداری از مذابی که در سرزمهین‌های پاره گدازشی تولید می‌شود، از منبع خارج نمی‌شود بلکه به صورت بسته‌های در راستای مرزهای بین کانی‌ها در سنگ بر جای مانده می‌ماند [۳۵] و مقدار کمی از مذاب نیز در لوکوسوم باقی می‌ماند [۳۶]. این مقدار کم مذاب باقیمانده با کانی‌های باقیمانده در مرحله نهایی تبلور واکنش می‌دهد و ریزساختارهای جدیدی (مثل درهم رشدی سیمپلکتیت از نوع بیوتیت اسکلتی یا بیوتیت تیغه دار نازک با کوارتز و پلاژیوکلاز [۲]، کوارتز و فلدسپار پتاسیم [۳۷]، فلدسپار قلیایی و پلاژیوکلاز [۳۸]) در هر دو قسمت غنی از مذاب و قسمت بر جای مانده ایجاد می‌کند بنابراین به نظر می‌رسد که دلیل وجود ریزساختارهایی مثل سیمپلکتیت بین میکا و کوارتز در هر دو قسمت لوکوسوم و مزووسوم (قسمت بر جای مانده) و بیوتیت تیغه‌دار با کوارتز در سنگ‌های منطقه این امر باشد. گسترش این ریزساختارها بستگی به مقدار مذاب موجود دارد [۲].

**گارنت آتولی:** در چند مورد بررسی، گارنت دارای بافت آتولی بوده و کانی‌های مثل پلاژیوکلاز و کوارتز را احاطه کرده است

(Cameroon)". *Journal of Petrology* 31(1990) 401-427.

[8] Neogi S., Dasgupta S., Fukuoka M., 1998. "High P-T polymetamorphism, dehydration melting, and generation of migmatites and granites in the Higher Himalayan Crystalline Complex, Sikkim, India", *Journal of Petrology* 39.1(1998) 61-99.

[9] Sawyer E. W., "Criteria for the recognition of partial melting", *Physics and Chemistry of the Earth* 24 (1999), 269-279.

[10] Sheikholeslami M. R., Zamani-Pedram M., Haftlang R., Hosseini H., "Geological map of Mahalat area. Scale 1:100,000", Geological Survey of Iran (2008b).

[11] Mohajjal M., Fergusson C.L., Sahandi M.R., "Cretaceous-Tertiary convergence and continental collision, Sanandaj-Sirjan zone, western Iran". *Journal of Asian Earth Sciences*, 21.4 (2003) 397-412.

[12] Davoudian A.R., Genser J., Neubauer F., Shabanian N., " $^{40}\text{Ar}/^{39}\text{Ar}$  mineral ages of eclogites from North Shahrekord in the Sanandaj-Sirjan zone, Iran: Implications for the tectonic evolution of Zagros orogeny", *Gondwana Research* 37 (2016). 216- 240.

[13] Thiele O., Alavi M., Assefi R., Hushmand-Zadeh A., Seyed-Emami K., Zahedi M., "Explanatory text of the Golpaygan Quadrangle Map, 1:250000" Geol. Survey of Iran (1968).

[14] Hassanzadeh J., Stockli D.F., Horton B.K., Axen G.J., Stockli L.D., Grove M., Schmitt A.K., Walker J.D., "U-Pb zircon geochronology of late Neoproterozoic-Early Cambrian granitoids in Iran: implications for paleogeography, magmatism, and exhumation history of Iranian basement", *Tectonophysics* 451 (2008) 71-96.

[15] Rashidnejad -Omran N., Emami M. H., Sabzehei M., Rastad E., Bellon H., Pique, A., "Lithostrigraphie et histoire Paléozoïque à Paléocène des complexes métamorphiques de la Région de Muteh, zone de Sanandaj-Sirjan (Iran Méridional)", *Comptes rendus Géoscience* 334 (2002) 1185-1191.

[16] Moritz R., Ghazban F., Singer B. S., "Eocene gold ore formation at Muteh, Sanandaj-Sirjan tectonic zone, western Iran: a result of late stage extension and exhumation of metamorphic basement rocks within the Zagros orogen", *Economic Geology* 101.8 (2006) 1497-1524.

[17] Moosavi E., Mohajjell M., Rashidnejad-Omran N., "Systematic changes in orientation of linear mylonitic fabrics: An example of strain partitioning during transpressional deformation in North Golpaygan, Sanandaj-Sirjan zone,

شدن برخی از کانی‌ها، ماکل دوقلوئی ساده در پلازیوکلازهای لوکوسوم و عدم وجود جهت‌گیری کانی‌ها در این لوکوسوم-هاست. شواهد جدایش دگرگونی در این نمونه‌ها شامل: لوکوسومهای لکه‌ای، درشت بودن اندازه دانه‌ها در این لوکوسومها نسبت به مزوسم، داشتن بافت دانه‌شکفتی و بلورهای پلازیوکلاز و فلدسپار پتاسیم بی‌شکل هستند. افرون بر این، در لوکوسومهای ناشی از جدایش دگرگونی، ملانوسوم بصورت لبه دیده می‌شود.

پدیده میگماتیتی شدن شرایط اوج دگرگونی در این سنگ-هاست. شواهد دگرگونی پسروندۀ در این سنگ‌ها شامل تبدیل روتیل به اسفن و ایلمنیت، سیمپلکتیت (کوارتز + مسکویت)، بافت میرمکیت (کوارتز + پلازیوکلاز)، گارنت آتوالی، تجزیه گارنت به کوارتز و کلریت و یا تجزیه گارنت به اپیدوت و آمفیبول است. این شواهد دگرگونی پسروندۀ که در برخی موارد ناکامل هستند پس از شرایط اوج دگرگونی و طی بالا آمدن روی رخساره‌های پیشین قرار گرفته‌اند.

#### قدرتانی

نویسنده‌گان مقاله از حمایت دانشکده منابع طبیعی و علوم زمین دانشگاه شهرکرد در به ثمر رساندن این پژوهش قدردانی می‌نمایند.

#### مراجع

- [1] Allen T. T., "Migmatite Systematics and Geology Carter Dome - Wild River Region, White Mountains, New Hampshire", Ph. D. Thesis, Dartmouth College (1992).
- [2] Sawyer E. W., "Identifying parts of Migmatites in the Field. In Sawyer E.W and Brown M (eds) Working with Migmatites", Mineralogical Association of Canada, Short Course; 38 (2008) 29-36.
- [3] Johannes W., "The significance of experimental studies for the formation of migmatites. In Migmatites", Springer US (1985) 36-85.
- [4] Ashworth J.R., "Migmatites", Blackie, Glasgow (1985) 302pp.
- [5] McLellan E.L., "Contrasting textures in metamorphic and anatexic migmatites: an example from the Scottish Caledonides", *Journal of Metamorphic Geology* 1.3 (1983), pp.241-262.
- [6] Hyndman D.W., "Petrology of igneous and metamorphic rocks", McGraw-Hill (1985).
- [7] Barbey P., Macaudiere J., Nzenti J.P., "High-pressure dehydration melting of metapelites: evidence from the migmatites of Yaounde

- metamorphism in exhumed magmatic arcs",* Geology 38 (2010) 1071-1074.
- [32] Barker A.J., "Introduction to metamorphic textures (second edition)", Cheltenham, UK, Stanley Thorne (1999) 264 p.
- [33] Ashworth J.R., Chambers A.D., "Symplectic reaction in olivine and the controls of intergrowth spacing in symplectites". Journal of Petrology 41(2000) 285-304.
- [34] Brown M., "Retrograde processes in migmatites and granulites revisited", Journal of Metamorphic Geology, 20(2002) 25-40.
- [35] Guernina S., Sawyer E.W., "Large-scale melt-depletion in granulite terranes: an example from the Archean Ashuanipi Subprovince of Quebec. Journal of Metamorphic Geology 21.2 (2003) 181-201.
- [36] Caggianelli A., Del Moro A., Paglionico A., Piccarreta G., Pinarelli L., Rottura A., "Lower crustal granite genesis connected with chemical fractionation in the continental crust of Calabria (Southern Italy)", European Journal of Mineralogy, 3(1991) 159-180.
- [37] Nyman N. W., Pattison D. R. M., Ghent E. D., "Melt extraction during formation of K-feldspar + sillimanite migmatites, west of Revelstoke. British Columbia". Journal of Petrology 36.2 (1995) 351-372.
- [38] Waters, D.J., "The significance of prograde and retrograde quartz-bearing intergrowth microstructures in partially melted granulite-facies rocks", Lithos 56 (2001) 97-110.
- [39] Smellie J. A. T., "Formation of atoll garnet from the aureole of the Ardara Plateau Co. Donegal, Ireland", Mineralogical magazine (1974) 878-888.
- [40] Casco A.G., Roldán R. L., "Disequilibrium induced by fast decompression in St-Bt-Grt-Ky-Sil-And metapelites from the Betic Belt, Southern Spain", Journal of Petrology 37 (1996) 1207-1239.
- [41] Menegon L., Pennacchioni G., Stüntz H., "Nucleation and growth of myrmekite during ductile shear deformation in metagranites", Journal of Metamorphic Geology 24 (2006) 553-568 .
- [42] Vernon R. H., "Questions about myrmekite in deformed rocks", Journal of Structural Geology 13 (1991b) 979-85.
- [43] Altenberger U., Wilhelm S., "Ductile deformation of K-feldspar in dry eclogite facies shear zones in the Bergen Arcs, Norway. Tectonophysics 320 (2000)107-121.
- [44] Hibbard M. J., "Petrography to petrogenesis", Prentice Hall (1985), New Jersey.
- Iran"Journal of Asian Earth Sciences 94 (2014) 55-67.
- [18] Zeh A., Okrusch M., Bratz H., "Post peak re-equilibration in a mafic gneiss from the KTB Main hole: implication for the metamorphic evolution", Geological Rundschau 86 (1997) 222- 234.
- [19] Passchier C. W., and Trouw R. A. J., "Micro tectonics", Springer, Berlin, Heidelberg, New York 2005.
- [20] da Silva M. A., "Petrogenesis of a variscan migmatite complex (NW Portugal): petrography, geochemistry and fluids", (Doctoral dissertation, Universidade do Portugal (2014)).
- [21] Mukherjee S., Mulchrone K. F., "Ductile shear zones: from micro-to macro-scales", John Wiley & Sons (2015).
- [22] Vernon R. H., "A Practical Guide to Rock Microstructure", Cambridge University Press.UK (2004).
- [23] Hiblot T., "Relationships between metamorphism and deformation in the Nordmannvik nappe, south of Lyngseidet: a focus on high grade relics", Master's Thesis in Geology (2013) GEO-3900.
- [24] Ashworth J.R., McLellan E.L., "Textures In Migmatites" Springer, Boston, MA(1985) 180-203.
- [25] Anenburg M., Katzir Y., "Muscovite dehydration melting in Si-rich metapelites: microstructural evidence from trondhjemitic migmatites, Roded, Southern Israel", Mineralogy and Petrology, 108(1), pp.137-152.
- [26] Vernon R.H., "Microstructures of melt-bearing regional metamorphic rocks", Geological Society of America Memoirs 207 (2011) 1-11.
- [27] Obata M., Yoshimura V., Nagakawa K., Odawara S., Osanai Y., "Crustal anatexis and melt migrations in the Higo metamorphic terrane, west-central Kyushu, Kumamoto, Japan", Lithos, 32 (1994) 135-147.
- [28] Whitney D.L., Irving A.J., "Origin of K-poor leucosomes in a metasedimentary migmatite complex by ultrametamorphism, synmetamorphic magmatism and subsolidus processes", Lithos 32 (1994) 173-192.
- [29] Mohajjal M., "Golpaygan QuadrangleMap of Iran No 1:1000000", Geological Survey of Iran (1992).
- [30] Enami M., Liou J. G., Mattinson C. G., "Epidote minerals in high P/T metamorphic terranes: Subduction zone and high-to ultrahigh-pressure metamorphism", Reviews in mineralogy and geochemistry 56.1 (2004) 347-398.
- [31] Peterman E.M., Grove M., "Growth conditions of symplectic muscovite+ quartz: Implications for quantifying retrograde